Date : 28/12/2011 Page : 1/8 Clé : V3.04.104 Révision

7decf2a51e85

SSLV104 - Poutre en rotation

Résumé:

Ce test permet de valider le calcul élastique linéaire d'une poutre élancée soumise à une rotation d'une de ses extrémités. Quatre modélisations sont testées : éléments 3D (HEXA20), éléments COQUE_3D (QUAD9 et TRIA7) et éléments D_PLAN (QUAD8). Cela teste les forces d'inertie de rotation, sans tenir compte des termes élémentaires de raidissement centrifuge (cf. [V3.04.105]).

La solution de référence est analytique (1D). Les résultats coïncident parfaitement avec la solution de référence.

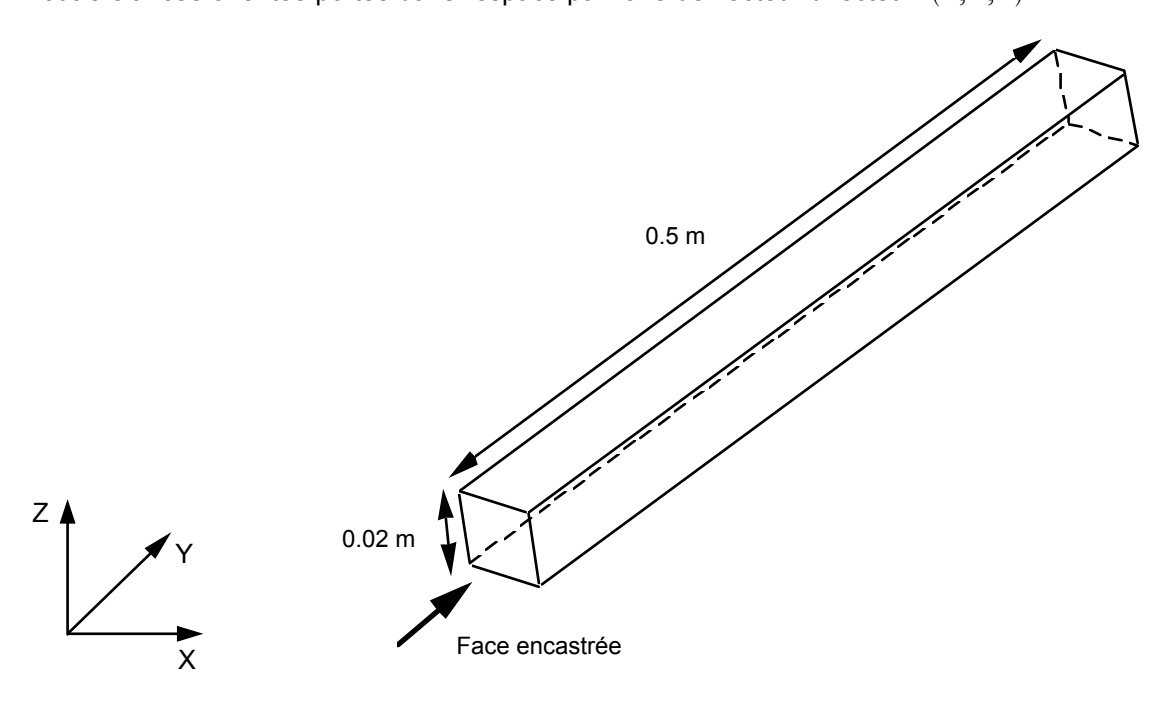
Date : 28/12/2011 Page : 2/8 Clé : V3.04.104 Révision

7decf2a51e85

1 Problème de référence

1.1 Géométrie

Poutre élancée orientée portée dans l'espace par l'axe de vecteur directeur (1,1,1).



Section carrée d'aire : $4.0 \, 10^{-4} \, m^2$ Longueur de la poutre : $0.5 \, m$

1.2 Propriétés de matériaux

$$E = 2.10^{11} Pa$$

$$v = 0$$

$$\rho = 7800 \, kg \, / \, m^3$$

 $A_CIS = 0.8333$ (facteur de correction de cisaillement transverse égal à 5/6 pour une théorie de type Reissner coque mince)

1.3 Conditions aux limites et chargements

Poutre encastrée libre en rotation autour d'un axe perpendiculaire à sa plus grande dimension et passant par le centre de la face encastrée.

Composante du vecteur rotation : (1,0,-1).

Vitesse de rotation : $\omega = 3000 \, rd/s$.

La valeur importante de la vitesse de rotation n'a rien de physique.

Date : 28/12/2011 Page : 3/8 Clé : V3.04.104 Révision

7decf2a51e85

2 Solution de référence

2.1 Méthode de calcul utilisée pour la solution de référence

Dans le repère local de la poutre :

$$\frac{\partial^2 U_x}{\partial x^2} + \frac{\rho}{E} \omega^2 x = 0 \text{ avec } \frac{U_x(0) = 0}{\frac{\partial U_x}{\partial x}} (L) = \sigma_{xx}(L) = 0$$

En intégrant l'équation différentielle précédente on obtient, dans le repère de la poutre :

$$U_x(x) = \frac{\rho \omega^2}{2E} \left(x L^2 - \frac{x^3}{3} \right) \quad U_y = U_z = 0$$

Les déplacements de tous points de la poutre s'écrivent donc dans le repère global :

$$U_{x}(X,Y,Z) = \frac{\rho \omega^{2}}{2\sqrt{3}E} \left(rL^{2} - \frac{r^{3}}{3} \right)$$

$$U_{y}(X,Y,Z) = \frac{\rho \omega^{2}}{2\sqrt{3}E} \left(rL^{2} - \frac{r^{3}}{3} \right)$$

$$U_{z}(X,Y,Z) = \frac{\rho \omega^{2}}{2\sqrt{3}E} \left(rL^{2} - \frac{r^{3}}{3} \right)$$
avec $r = \sqrt{X^{2} + Y^{2} + Z^{2}}$

2.2 Résultats de référence

Valeurs des trois déplacements au centre de la section la plus éloignée de l'axe de rotation.

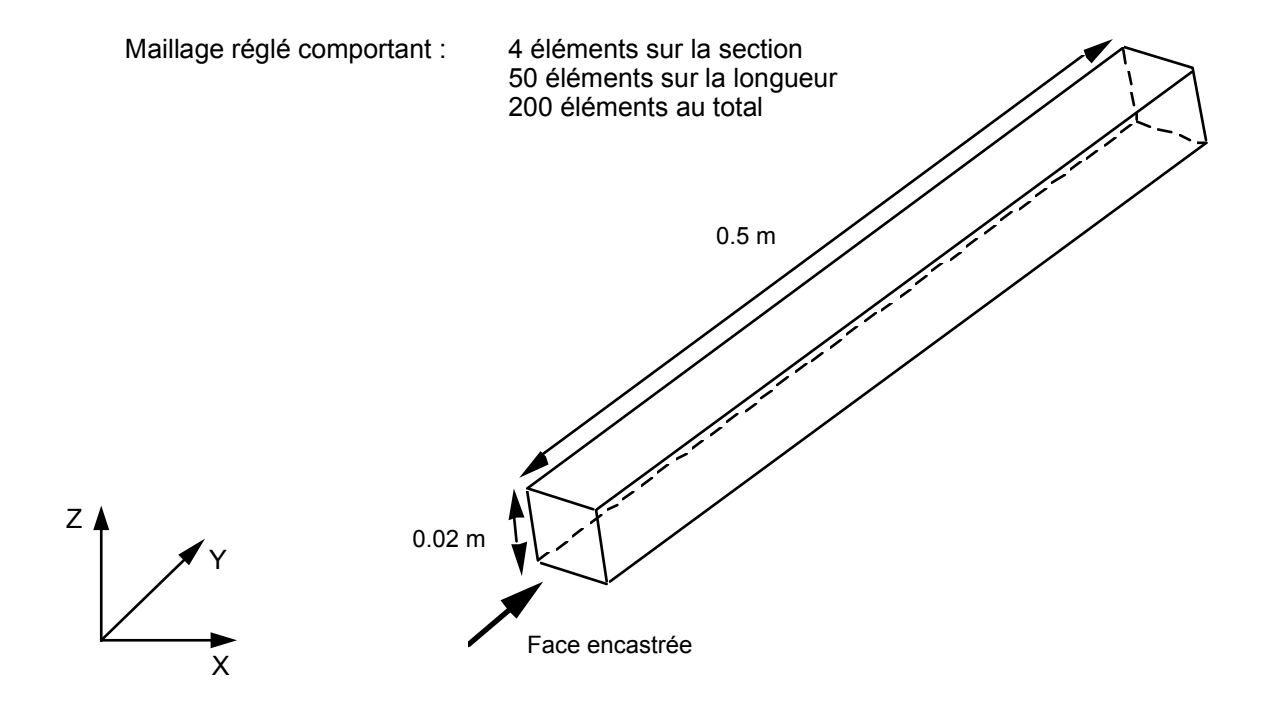
Date : 28/12/2011 Page : 4/8 Clé : V3.04.104 Révision

7decf2a51e85

3 Modélisation A

3.1 Caractéristiques de la modélisation

Éléments 3D (HEXA20)



3.2 Caractéristiques du maillage

Nombre de nœuds : 1521

Nombre de mailles et types : 200 HEXA20

Identification	Référence
DX en L	8.44 10-3
DY en L	8.44 10-3
DZ en L	8.44 10 ⁻³

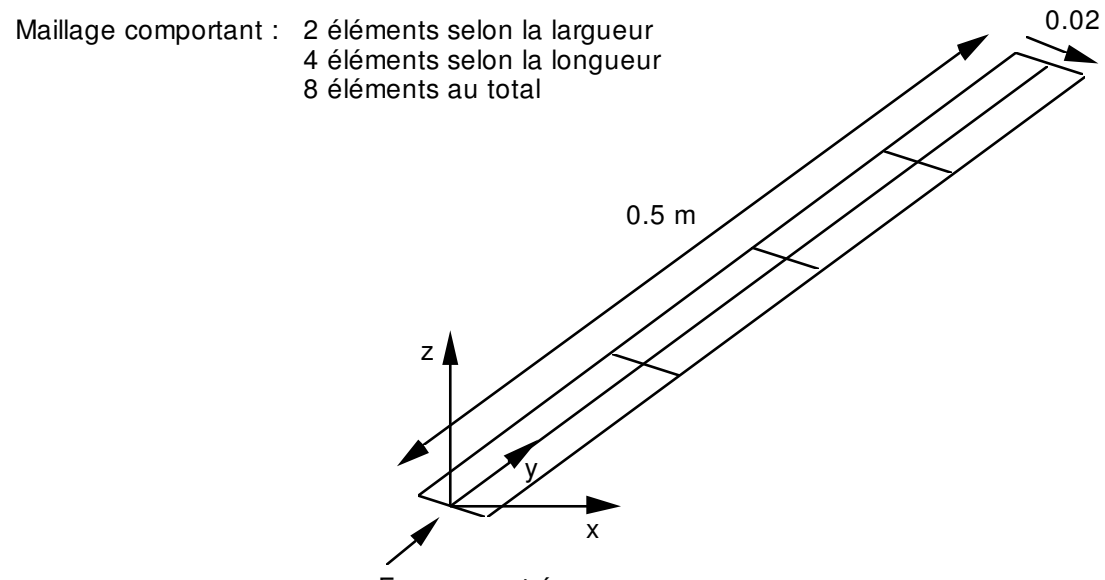
Date : 28/12/2011 Page : 5/8 Clé : V3.04.104 Révision

7decf2a51e85

4 Modélisation B

4.1 Caractéristiques de la modélisation

Eléments de coque месзоиян



Face encastrée

4.2 Caractéristiques du maillage

Nombre de nœuds : 45

Nombre de mailles et types : 8 QUAD9

Identification	Reference
DX en L	8.44 10 ⁻³
DY en L	8.44 10 ⁻³
DZ en L	8.44 10 ⁻³

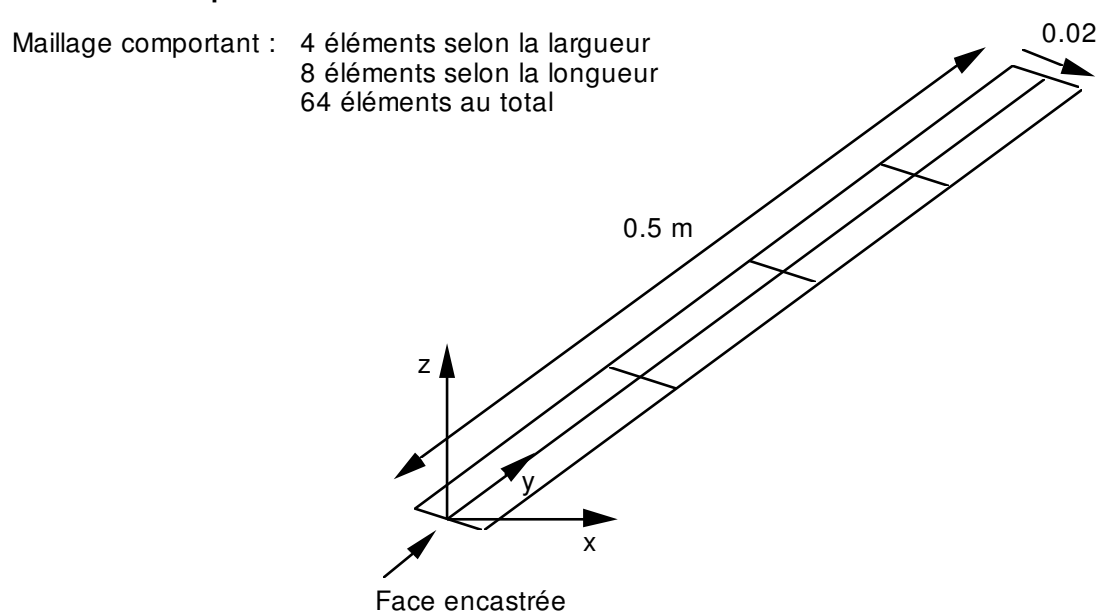
Date : 28/12/2011 Page : 6/8 Clé : V3.04.104 Révision

7decf2a51e85

5 Modélisation C

5.1 Caractéristiques de la modélisation

Eléments de coque MEC3TR7H



5.2 Caractéristiques du maillage

Nombre de nœuds : 217

Nombre de mailles et types : 64 TRIA7

Identification	Référence
DX en L	8.44 10 ⁻³
\overline{DY} en L	8.44 10-3
DZ en L	8.44 10-3

Date : 28/12/2011 Page : 7/8 Clé : V3.04.104 Révision

7decf2a51e85

6 Modélisation D

6.1 Caractéristiques de la modélisation

Eléments D_PLAN MEDPQU8

Maillage comportant 2 éléments selon la largeur, 50 éléments selon la longueur. 100 éléments au total.

En 2D, les déplacements de la poutre s'écrivent :

$$U_x(X,Y) = \frac{\rho \omega^2}{2\sqrt{2}E} \left(r L^2 - \frac{r^3}{3} \right)$$

$$U_y(X,Y) = \frac{\rho \omega^2}{2\sqrt{2}E} \left(r L^2 - \frac{r^3}{3} \right)$$

$$\varepsilon$$
avec $r = \sqrt{X^2 + Y^2}$

6.2 Caractéristiques du maillage

Nombre de nœuds : 405

Nombre de mailles et types : 100 QUAD8

Identification	Référence
DX en L	10.341 10 ⁻³
DY en L	10.341 10 ⁻³

Date : 28/12/2011 Page : 8/8 Clé : V3.04.104 Révision

7decf2a51e85

7 Synthèse des résultats

La coïncidence des résultats avec la solution analytique permet de valider le chargement dû aux forces d'inertie de rotation.

La modélisation COQUE 3D avec MEC3QU9H donne la solution avec très peu d'éléments.

On se reportera au test SSLV105 [V3.04.105] pour évaluer l'effet du raidissement centrifuge pour l'élément 3D, HEXA20.